

# EKF定位

蒋颜丞 (3190102563) 朱姜宇轩 (3190103052) 张嘉浩 (3190103683)

## 1 解决思路

### 1.1 算法原理

在定位问题中，我们通常认为位置信息是一个概率分布，每次移动都会使分布变得更分散。因此，考虑将变量（地图数据、观测数据和控制数据）传递到滤波器中，以便在每个时间步骤中缩小分布范围。应用过滤器之前的每个状态代表我们的先验，而变窄的分布代表我们的贝叶斯后验。即

$$p(x_t|Z^t, U^{t-1}, m) = \eta p(z_t|x_t, m) \int p(x_t|x_{t-1}, u_{t-1}, m) p(x_{t-1}|Z^{t-1}, U^{t-2}, m) dx_{t-1}$$

这里运动模型的运算过于复杂，因此通常采用不同的假设或近似，即EKF（Extended kalman filter）定位法。

### 1.2 基本思想

- 采用非线性函数表示运动方程和观测方程： $x_t = g(x_{t-1}, u_{t-1}) + v_t$ ,  $v_t \sim N(0, R_t)$ ;  
 $z_t = h(x_t) + \omega_t$ ,  $\omega_t \sim N(0, Q_t)$ ;
- 计算非线性转换后实际概率分布的高斯近似。

### 1.3 运动方程及其雅可比矩阵

在本例中，我们使用速度运动模型：

$$\mu_t = \begin{pmatrix} x_t \\ y_t \\ \theta_t \end{pmatrix} = g(\mu_{t-1}, u_{t-1}) = g(x_{t-1}, y_{t-1}, \theta_{t-1}, v, w, \theta) = \begin{pmatrix} x_{t-1} - \frac{v}{\omega} \sin(\theta_{t-1}) + \frac{v}{\omega} \sin(\theta_{t-1} + \omega dt) \\ y_{t-1} + \frac{v}{\omega} \cos(\theta_{t-1}) - \frac{v}{\omega} \cos(\theta_{t-1} + \omega dt) \\ \theta_{t-1} + \omega dt \end{pmatrix}$$

对应的雅可比矩阵为：

$$G_t = \frac{\partial g(\mu_{t-1}, u_{t-1})}{\partial \mu_{t-1}} = \begin{pmatrix} \frac{\partial x_t}{\partial x_{t-1}} & \frac{\partial x_t}{\partial y_{t-1}} & \frac{\partial x_t}{\partial \theta_{t-1}} \\ \frac{\partial y_t}{\partial x_{t-1}} & \frac{\partial y_t}{\partial y_{t-1}} & \frac{\partial y_t}{\partial \theta_{t-1}} \\ \frac{\partial \theta_t}{\partial x_{t-1}} & \frac{\partial \theta_t}{\partial y_{t-1}} & \frac{\partial \theta_t}{\partial \theta_{t-1}} \end{pmatrix} = \begin{pmatrix} 1 & 0 & -\frac{v}{\omega} \cos(\theta_{t-1}) + \frac{v}{\omega} \cos(\theta_{t-1} + \omega dt) \\ 0 & 1 & -\frac{v}{\omega} \sin(\theta_{t-1}) + \frac{v}{\omega} \sin(\theta_{t-1} + \omega dt) \\ 0 & 0 & 1 \end{pmatrix}$$

### 1.4 算法流程

```
Algorithm Extended_Kalman_filter ( $\mu_{t-1}, \sum_{t-1}, u_{t-1}, z_t$ )
 $\bar{\mu}_{t-1} = g(\mu_{t-1}, u_{t-1})$  //运动模型，位置预测
 $\bar{\sum}_{t-1} = G_t \sum_{t-1} G_t^T + R_t$  //雅可比矩阵，计算协方差预测值
 $K_t = \bar{\sum}_t H_t^T (H_t \bar{\sum}_t H_t^T + Q_t)^{-1} \Rightarrow O(k^{2.376})$  //计算卡尔曼增益
 $\mu_t = \bar{\mu}_t + K_t(z_t - h(\bar{\mu}_t))$  //观测模型，更新均值
 $\sum_t = [I - K_t H_t] \bar{\sum}_t \Rightarrow O(n^2)$  //更新协方差
return  $\mu_t, \sum_t$ 
```

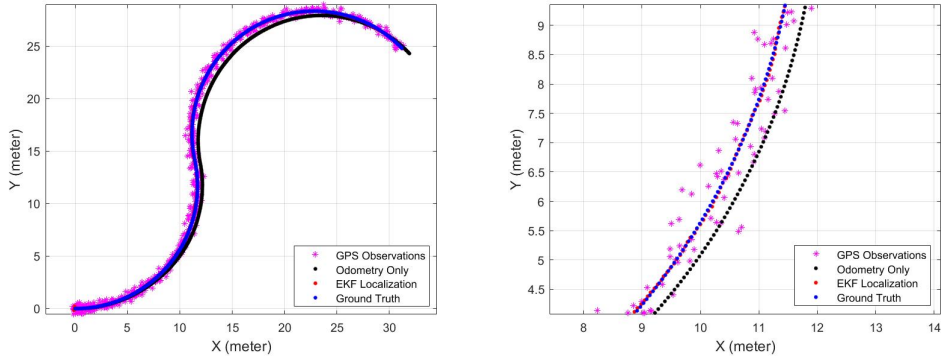
### 1.5 协方差矩阵选择

协方差矩阵的选择通常要根据实际情况进行判断。一般有两种思路：一是在某些稳定的过程可以假定它是固定的矩阵，通过寻找最优的Q（过程激励噪声的协方差）值使滤波器获得更好的性能，这是调整滤波器参数的主要手段，Q一般是对角阵，且对角线上的值很小，便于快速收敛；二是在自适应卡尔曼滤波器（AKF）中Q矩阵是随时间变化的。这里我们采用经验值（噪声矩阵的平方）作为协方差矩阵。

## 2 求解结果与分析

### 2.1 结果

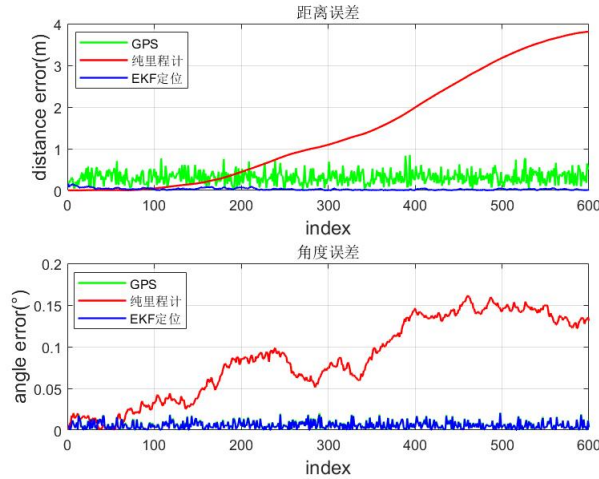
运行效果如下：



从图中可以看出，EKF定位十分准确。

### 2.2 分析

GPS定位距离平均绝对误差为0.30304，角度平均绝对误差为0.3525°；纯里程计估计距离平均绝对误差为0.53866，角度平均绝对误差为1.2207°；EKF定位距离平均绝对误差为0.037073，角度平均绝对误差为0.3341°。误差随时间变化曲线图：



从以上数据及图像中可以看到，EKF定位的误差要比纯里程计估计小得多，且纯里程计估计的误差会随时间的推移不断增加，以致达到无法使用的地步，而EKF定位的误差能保持在一个极小的范围内，可用性非常高。

## 3 改进（二阶EKF）

一阶EKF在模型近似中采取了线性化的策略，忽略了高阶项，带来的截断误差可能会导致算法发散。尽管通过选择合适的初始状态向量和状态误差协方差矩阵，可以在一定程度上避免这一问题，但提高泰勒近似的阶数显然更能从根本上解决这一问题。二阶EKF在泰勒展开时保留至二阶，使用雅可比矩阵计算泰勒级数的一阶项，而由海森矩阵计算二阶项。文献[1]给出了具体的数学算法：

泰勒展开为：

$$x(k+1) = f(x(k|k)) + f_x(k)[x(k) - \hat{x}(k|k)] + \frac{1}{2} \sum_{i=1}^n e_i [x(k) - \hat{x}(k|k)]' f_{n_i}(k) [x(k) - \hat{x}(k|k)] + HOT + v(k)$$

其中 $HOT$ 为高阶项， $v(k)$ 为误差项。协方差预测值公式变为：

$$P(k+1|k) = f_x(k)P(k|k)f_x(k)' + \frac{1}{2} \sum_{i=1}^n \sum_{j=1}^n e_i e_j^T \text{tr}[f_{xx}^i(k)P(k|k)f_{xx}^j(k)P(k|k)] + Q(x)$$

其中 $f_x(k)$ 是 $f$ 的雅可比矩阵， $f_{xx}^i(k)$ 是 $f$ 中第 $i$ 个函数式的海森矩阵：

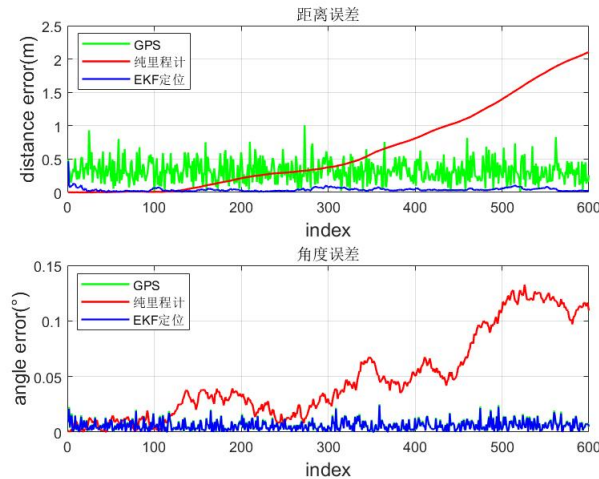
$$f_{xx}^1(k) = \begin{pmatrix} 0 & 0 & 0 \\ 0 & 0 & 0 \\ 0 & 0 & \frac{v}{\omega} \sin(\theta_{t-1}) - \frac{v}{\omega} \sin(\theta_{t-1} + \omega dt) \end{pmatrix}, f_{xx}^2(k) = \begin{pmatrix} 0 & 0 & 0 \\ 0 & 0 & 0 \\ 0 & 0 & -\frac{v}{\omega} \cos(\theta_{t-1}) + \frac{v}{\omega} \cos(\theta_{t-1} + \omega dt) \end{pmatrix}$$

$$f_{xx}^3(k) = \begin{pmatrix} 0 & 0 & 0 \\ 0 & 0 & 0 \\ 0 & 0 & 0 \end{pmatrix}$$

其余与一阶EKF相同。相关代码如下所示：

```
1 G = jacobF(xEkf, u); hF = hessF(xEkf, u); % 计算雅可比矩阵和海森矩阵
2 so = 0;
3 for i=1:3
4     for j=1:3
5         ei = zeros(3,1);ei(i) = 1;
6         ej = zeros(3,1);ej(j) = 1;
7         so = so + ei * ej' * trace(hF{i} * PxEkf * hF{j} * PxEkf); % 计算二次项
8     end
9 end
10 PxEkfPred = G * PxEkf * G' + so + convQ; % 计算协方差预测值
```

使用上述算法进行编程，运行后得到二阶EKF距离平均绝对误差为0.032482，角度平均绝对误差为0.32375°。误差曲线图为：



从以上数据及图像中可以看到，对本例而言，二阶EKF在准确度上相比一阶稍有改进，但幅度不大。此外，一阶EKF运行时间仅为6.936s，而二阶EKF运行时间则长达66.702s，相比之下，二阶EKF慢了许多，但改进不多，性价比不高。事实上，在实际应用中，最常用的也是一阶EKF。

## 4 算法分析

### 4.1 优点

- 一阶EKF简单，计算高效，快速，鲁棒性好；
- 二阶EKF对非线性函数的适应性更强，精度更高。

## 4.2 缺点

- 一阶EKF线性近似的好坏依赖于自变量的不确定程度、被近似函数的局部非线性程度；
- 二阶EKF计算量大，运算速度慢，实时性差，对处理器要求高；
- EKF采用多变量高斯分布表示估计的概率分布，这种单峰概率分布表示不适合于存在多个假设的情况。

## 5 分工

蒋颜丞、张嘉浩、朱姜宇轩共同完成编程，查找资料，撰写报告。

## 参考文献

- [1] B. Sadeghi and B. Moshiri, "Second-order EKF and Unscented Kalman Filter Fusion for Tracking Maneuvering Targets," 2007 IEEE International Conference on Information Reuse and Integration, 2007, pp. 514-519, doi: 10.1109/IRI.2007.4296672.
- [2] Ben Quine, Jeffrey Uhlmann, and Hugh Durrant-Whyte, Implicit jacobians for linearised state estimation in nonlinear systems. Proceedings of the 1995 American Control Conference, IEEE Press, June 1995.
- [3] Simon Julier, Jeffrey Uhlmann, and Hugh Durrant-Whyte, A new approach for filtering nonlinear systems. Proceedings of the 1995 American Control Conference, IEEE Press, June 1995.